УДК 697-921.4

# Численное моделирование регенеративного теплообменника для вентиляции с периодической сменой направления воздушного потока\*

С.П. Актершев, Н.Н. Мезенцева, И.В. Мезенцев, Р.С. Горелик

Институт теплофизики им. С.С. Кутателадзе СО РАН, Новосибирск

E-mail: sergey-aktershev@mail.ru

Разработана двумерная математическая модель регенеративного теплообменника для системы вентиляции с периодическим изменением направления потока воздуха. Такая система позволяет значительно экономить тепловую энергию для обогрева жилого помещения в зимний период. Результаты расчетов по двумерной модели сопоставляются с расчетами по одномерной модели и с экспериментальными данными. Сформулировано определение энергетической эффективности в терминах снижения потери тепловой энергии. Показано, что эффективность регенеративного теплообменника может быть больше 90 %. Методом численного моделирования проведено параметрическое исследование и определено влияние рабочих и конструктивных параметров теплообменника на энергетическую эффективность его работы. В численных расчетах выявлена группа параметров, которые наиболее сильно влияют на энергетическую эффективность системы вентиляции, и даны рекомендации по их оптимизации.

**Ключевые слова:** регенеративный теплообменник, система вентиляции, параметрическое исследование, энергетическая эффективность.

### Введение

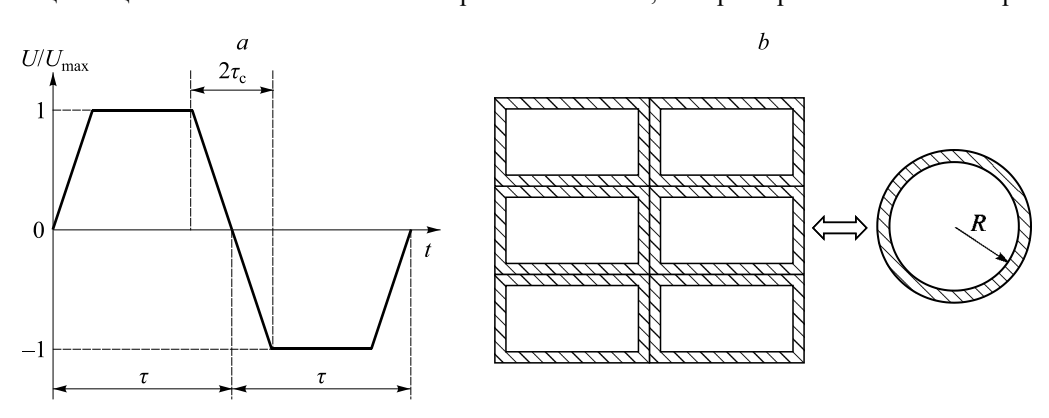
В странах с холодным климатом (таких как Россия, Канада, Норвегия, Финляндия) в жилых зданиях в зимний период возникают тепловые потери, обусловленные вентиляцией воздуха. Доля этих потерь в общем энергетическом балансе здания по разным источникам может достигать 50 %, поэтому для их уменьшения системы вентиляции используются в комбинации с системами восстановления теплоты (регенеративными теплообменниками) различных типов [1, 2]. Одним из наиболее перспективных способов снижения тепловых потерь на вентиляцию в зимний период является утилизация теплоты вытяжного воздуха для нагрева приточного за счет периодического изменения направления воздушного потока через регенеративный теплообменник [3 – 6]. Принципиальная схема такой энергосберегающей системы вентиляции довольно проста. Вытяжной теплый воздух проходит через твердую неподвижную теплоаккумулирующую

<sup>\*</sup> Исследование выполнено за счет гранта РНФ № 22-29-0141, https://rscf.ru/project/22-29-01412/.

<sup>©</sup> Актершев С.П., Мезенцева Н.Н., Мезенцев И.В., Горелик Р.С., 2023

среду, которая поглощает часть тепловой энергии воздуха. Затем (в фазе притока) холодный наружный воздух, поступающий в помещение, проходит через теплоаккумулирующую среду и частично нагревается. В качестве теплоаккумулирующей среды может быть использован слой гранулированного материала или теплообменная матрица с продольными воздушными каналами. Особенности регенераторов с теплообменными матрицами в виде засыпок из различных материалов обсуждались в работах [5-7]. В работах [8, 9] были представлены результаты экспериментального и численного исследования тепловых параметров воздухо-воздушного регенеративного теплообменника с периодическим изменением направления воздушного потока, в котором в качестве теплообменного тела применялась матрица из полипропилена с продольными воздушными каналами. Там же была разработана одномерная математическая модель регенеративного теплообменника, которая описывает теплообмен в терминах средних по сечению температуры матрицы и температуры воздуха. Для замыкания уравнений модели необходимо присутствие коэффициента теплообмена  $\alpha$ . Значение  $\alpha$  (постоянное для всей матрицы) задавалось как для термически стабилизированного течения воздуха в канале посредством числа Нуссельта в виде  $\mathrm{Nu} = \alpha d/\lambda \approx 4$  (здесь d — диаметр канала,  $\lambda$  — теплопроводность воздуха). Величина  $\alpha$  является важным параметром, который определяет адекватность математической модели. С целью верификации модели в работах [8, 9] были проведены экспериментальные исследования. Экспериментальная установка состояла из регенеративной мультиканальной матрицы, реверсивного вентилятора и корпуса. Регенеративная теплообменная матрица цилиндрической формы, длиной 180 мм и наружным диаметром 198 мм была выполнена из полипропилена и имела воздушные прямоугольные каналы, разделенные тонкими перегородками. Один торец теплообменной матрицы контактировал с наружным воздухом, имеющим температуру  $T_{\rm cold}$ , а другой торец был расположен в помещении, где поддерживалась температура  $T_{\rm bot} > T_{\rm cold}$ . Реверсивный вентилятор циклически нагнетал воздух либо в помещение, либо наружу, меняя направление потока в конце каждого полупериода длительностью т. Длительность переключения направления потока составляла 2 т (рис. 1а). С помощью термопар, установленных в воздушных каналах и в стенке между каналами, была измерена временная эволюция распределений температуры воздуха и материала матрицы в различных сечениях теплообменника. Результаты расчетов по модели [8] показали вполне удовлетворительное согласование с экспериментальными данными.

В работе [10] была разработана двумерная математическая модель системы вентиляции с циклическим изменением направления потока, которая применялась в экспери-



 $Puc.\ 1.\$ Скорость воздуха в канале в зависимости от времени (a), ячейки теплообменной матрицы и цилиндрический канал, эквивалентный одной ячейке (b).

ментах [8, 9]. В двумерной модели [10], в отличие от одномерной [8], учитывается неоднородность температуры воздуха по сечению канала и температуры материала теплообменной матрицы по сечению межканальной перегородки. Было проведено сопоставление результатов численных расчетов по двумерной модели с экспериментальными данными [8, 9] и показано, что увеличение как длительности цикла, так и максимальной скорости воздуха приводит к снижению энергетической эффективности.

В настоящей работе численными методами с помощью двумерной модели [10] проводится параметрическое исследование с целью определения влияния рабочих и конструктивных параметров регенеративного теплообменника на его энергетическую эффективность.

## 1. Теоретическая модель

Теплообменная матрица имеет ячеистую структуру, т.е. представляет собой огромное множество (порядка  $10^5$  на  $1 \text{ m}^2$ ) одинаковых сквозных каналов, разделенных тонкими перегородками. Большое количество каналов позволяет пренебречь краевыми эффектами вблизи боковой поверхности матрицы, при этом в силу симметрии можно считать, что все каналы теплоизолированы друг от друга. С учетом этого возможно рассматривать одиночный канал, эквивалентный одной ячейке теплообменной матрицы. В теоретической модели канал считается цилиндрическим и радиус цилиндра R выбирается так, чтобы его площадь сечения была равна площади сечения канала теплообменной матрицы. Толщина стенки цилиндрического канала D выбирается таким образом, чтобы площадь сечения стенки была равна соответствующей площади сечения перегородки (на одну ячейку) мультиканальной матрицы (рис. 1b). Хотя принятая в модели цилиндрическая форма канала не описывает «тонких» гидродинамических деталей в реальном канале прямоугольной (или иной) формы (например, особенностей течения в углах прямоугольника), тем не менее, модель позволяет учесть принципиально новый фактор влияние двумерности на теплообмен между движущимся газом и стенкой канала, которое не описывает одномерная модель [8]. Учитывая форму и размеры канала и межканальных перегородок, можно получить необходимые для модели значения R и D. Так, например, в экспериментах [8, 9] использовалась мультиканальная матрица с прямоугольными каналами размерами 3,25×1,5 мм при толщине перегородки между ячейками 0.5 мм. В этом случае эквивалентный радиус круглого канала R = 1.25 мм, толщина стенки D = 0,3 мм.

Двумерные поля температуры воздуха  $T_{\rm g}(x,\,r,\,t)$  и стенки канала  $T_{\rm s}(x,\,r,\,t)$  определяются из уравнений нестационарного теплопереноса. Для потока воздуха они описываются в виде

$$\frac{\partial T_{\rm g}}{\partial t} + u(r) \frac{\partial T_{\rm g}}{\partial x} = \frac{a_{\rm g}}{r} \cdot \frac{\partial}{\partial r} \left( r \frac{\partial T_{\rm g}}{\partial r} \right), \text{ при } 0 < r < R, \tag{1}$$

для стенки:

$$\frac{\partial T_{\rm s}}{\partial t} = a_{\rm s} \left( \frac{1}{r} \cdot \frac{\partial}{\partial r} \left( r \frac{\partial T_{\rm s}}{\partial r} \right) + \frac{\partial^2 T_{\rm s}}{\partial x^2} \right), \text{ при } R < r < R + D, \tag{2}$$

здесь r — радиальная координата, x — координата вдоль оси канала (холодному концу канала соответствует x = 0), a — температуропроводность, u — скорость воздуха в канале; индекс g означает газ, g — твердое тело. Скорость ламинарного потока воздуха

определяется соотношением  $u(r) = u_0 \left(1 - r^2 / R^2\right)$ , где  $u_0$  — скорость на оси. При этом средняя по сечению канала скорость воздуха рассчитывается как

$$U = \frac{1}{\pi R^2} \int_{0}^{R} u(r) 2\pi r dr = \frac{u_0}{2}.$$

Средняя скорость воздуха периодически изменяется в соответствии с рис. 1a. В фазе притока скорость равномерно возрастает от нуля до максимального значения  $U_{\rm max}$  в течение времени  $\tau_{\rm c}$ , потом некоторое время остается постоянной, затем за такое же время  $\tau_{\rm c}$  равномерно уменьшается до нуля. Далее начинается фаза вытяжки и скорость меняет знак на противоположный.

Введем масштаб расстояния l=1 мм, масштаб времени  $t_{\rm m}=l^2/a_{\rm g}$ , масштаб скорости  $u_{\rm m}=a_{\rm g}/l$ , масштаб температуры  $\Delta T=T_{\rm hot}-T_{\rm cold}$  и перейдем к безразмерным переменным x/l, r/l,  $t/t_{\rm m}$ ,  $u/u_{\rm m}$ ,  $(T-T_{\rm cold})/\Delta T$ , сохраняя для всех переменных прежние буквенные обозначения. При таком переходе безразмерная температура наружного воздуха равна нулю, а безразмерная температура помещения равна единице. В безразмерных переменных система уравнений (1), (2) записывалась в разностном виде по неявной схеме и решалась конечно-разностным методом в условиях периодического изменения направления воздушного потока с заданным периодом  $2\tau$  (здесь  $\tau$  — длительность течения воздуха в одном направлении) и заданной длительностью переключения направления течения  $2\tau_{\rm c}$ . На оси канала ставилось условие симметрии:

$$\partial T_{g} / \partial r \big|_{r=0} = 0. \tag{3}$$

На внешней поверхности стенки ставилось условие отсутствия теплового потока:

$$\partial T_{s} / \partial r \Big|_{r=R+D} = 0. \tag{4}$$

На внутренней поверхности стенки ставились условия непрерывности температуры и теплового потока:

$$T_{\rm s} \mid_{r=R} = T_{\rm g} \mid_{r=R}, \quad \lambda_{\rm s} \partial T_{\rm s} / \partial r \mid_{r=R} = \lambda_{\rm g} \partial T_{\rm g} / \partial r \mid_{r=R},$$
 (5)

здесь  $\lambda$  — теплопроводность. В отличие от одномерной модели [8], условия (5) позволяют избежать необходимости задавать коэффициент теплообмена. При этом тепловой поток на границе воздух – стенка вычисляется непосредственно в процессе решения системы уравнений (1), (2). Температура воздуха, втекающего в канал на одном из его концов, задавалась в соответствии с фазой цикла, т.е. в фазе притока  $T_{\rm g}(0,t) = T_{\rm cold}$ , в фазе вытяжки  $T_{\rm g}(L,t) = T_{\rm hot}$ . Для решения уравнения (2) применялся метод расщепления по координатам. При расчете распределения температуры стенки вдоль потока (методом прогонки по координате x) на концах канала ставились условия  $T_{\rm s}|_{x=0} = 0$ ,  $T_{\rm s}|_{x=L} = 1$ .

Для сопоставления результатов расчетов по двумерной и одномерной моделям вычислялись средняя по сечению канала температура воздуха:

$$T_{\text{g av}}(x,t) = \frac{1}{\pi R^2} \int_{0}^{R} T_{\text{g}}(x,r,t) 2\pi r dr,$$
 (6)

и средняя по сечению температура стенки:

$$T_{\text{s av}}(x,t) = \frac{1}{\pi (R+D)^2 - \pi R^2} \int_{R}^{R+D} T_s(x,r,t) 2\pi r dr.$$
 (7)

С использованием переменных (6), (7) вычислялись локальный коэффициент теплообмена между стенкой и воздухом  $\alpha(x,t) = q/(T_{\rm s\,av} - T_{\rm g\,av})$ , локальное число Нуссельта  ${\rm Nu}(x,t) =$ 

 $=2\mathrm{Ra}/\lambda_{\mathrm{g}}\,$  и среднее по длине канала число Нуссельта  $\left\langle \mathrm{Nu} \right\rangle = \frac{1}{L}\int\limits_{0}^{L}\mathrm{Nu}\left(x,t\right)dx$ . Здесь  $q\left(x,t\right) = \lambda_{\mathrm{g}}\partial T_{\mathrm{g}}/\partial r\big|_{r=R}\,$  — плотность теплового потока на стенке канала.

# 2. Энергетическая эффективность системы вентиляции с периодической сменой направления воздушного потока

Эффективность рассматриваемой системы можно определить, сравнивая ее с системой проточной вентиляции. В случае проточной системы вентиляции масса наружного воздуха m попадает в помещение и нагревается от температуры  $T_{\rm cold}$  до температуры  $T_{\rm hot}$ . На этот нагрев затрачивается тепло  $Q_0 = mc_g \Delta T$ . Затем этот воздух выбрасывается в атмосферу, унося с собой все полученное тепло. Таким образом, в атмосферу выбрасывается тепловая энергия  $Q_0$  с температурой  $T_{\rm hot}$ . В случае регенеративной системы вентиляции воздух в помещении также имеет температуру  $T_{\rm hot}$ , а выбрасываемый в атмосферу воздух имеет среднюю по времени температуру:

$$T_{\text{out}} = \frac{1}{\tau} \int_{0}^{\tau} T_{\text{g av}}(0, t) dt.$$
 (8)

Здесь интеграл по времени вычисляется на стадии вытяжки. Величина  $T_{\rm out}$  меньше, чем  $T_{\rm hot}$ , т.к. на стадии вытяжки часть тепловой энергии воздуха передается стенке канала. Таким образом, в атмосферу выбрасывается тепловая энергия  $Q_{\rm l} = mc_{\rm g} \left(T_{\rm out} - T_{\rm cold}\right) < Q_{\rm 0}$ , а потери тепла уменьшаются на  $\Delta Q = Q_{\rm 0} - Q_{\rm 1}$ . Энергетическую эффективность регенеративной системы вентиляции  $E_{\rm ef}$  определим как отношение «сэкономленной» за счет регенерации теплоты  $\Delta Q$  к «исходной» тепловой потере  $Q_{\rm 0}$ :

$$E_{\rm ef} = \frac{\Delta Q}{O_0} = \frac{\Delta T - (T_{\rm out} - T_{\rm cold})}{\Delta T}.$$
 (9)

В принятых безразмерных переменных формула (9) имеет вид:

$$E_{\rm ef} = 1 - \frac{1}{\tau} \int_{0}^{\tau} T_{\rm gav}(0, t) dt.$$
 (10)

В работах [8, 9] эффективность регенеративной системы вентиляции характеризовалась критерием тепловой эффективности  $\varepsilon$ :

$$\varepsilon = \frac{(c\rho u)_{\text{hot}}}{(c\rho u)_{\text{min}}} \cdot \frac{T_{\text{hot}} - T_{\text{outflow}}(t)}{\Delta T} = \frac{(c\rho u)_{\text{hot}}}{(c\rho u)_{\text{min}}} \varepsilon_{\text{t}}, \tag{11}$$

здесь

$$\varepsilon_{t} = \frac{T_{\text{hot}} - T_{\text{exhaust}}(t)}{\Delta T}$$
 (12)

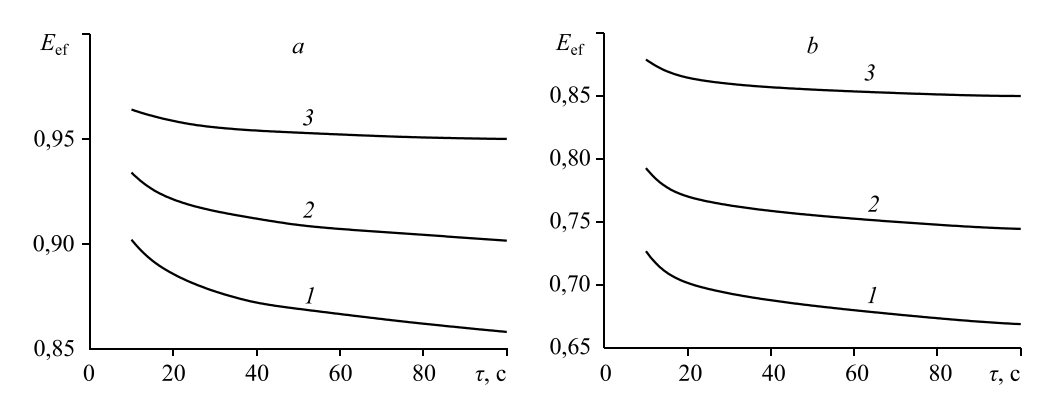
эффективность теплообменника,  $T_{\rm exhaust}(t)$  — температура вытекающего наружу воздуха.

Отметим, что выражение (11) изначально характеризует эффективность противоточного теплообменника, где в теплообмене участвуют два стационарных потока жидкости. Именно в этом случае формула (12) дает константу, которая характеризует эффективность работы теплообменника. Однако, использование (12) в рассматриваемом случае нуждается в уточнении. В ситуации, когда происходит периодическая смена направления воздушного потока, значение (12) описывает мгновенное состояние теплообменника и циклически пульсирует по времени, а не характеризует эффективность регенеративной системы вентиляции в целом (за один цикл). Если же в формуле (12) заменить мгновенное значение температуры  $T_{\rm exhaust}$  (t) на среднее по времени (в фазе вытяжки) значение  $T_{\rm out}$  (см. уравнение (8)) и перейти к безразмерной переменной, тогда получим формулу (10), которая определяет значение  $E_{\rm ef}$ . В отличие от  $\varepsilon_{\rm t}$ , величина  $E_{\rm ef}$  характеризует в целом эффективность регенерации тепла в терминах снижения тепловых потерь.

# 3. Результаты расчетов

Параметрическое исследование проводилось для двух значений радиуса канала: 1 и 2 мм. Физические свойства воздуха считались постоянными:  $\rho_{\rm g}=1,29\cdot10^3~{\rm kr/m^3},$   $c_{\rm g}=10^3~{\rm Дж/(kr\cdot K)},~\lambda_{\rm g}=0,024~{\rm B/(m\cdot K)}.$  Расчеты проводились для следующего опорного набора параметров:  $\rho_{\rm s}=10^3~{\rm kr/m^3},~c_{\rm s}=4\cdot10^3~{\rm Дж/kr}~{\rm K},~\lambda_{\rm s}=0,5~{\rm B/(m\cdot K)},~\tau_{\rm c}=2~{\rm c},~L=200~{\rm mm},$   $U_{\rm max}=0,5~{\rm m/c}.$  В ходе вычислений каждый из таких параметров, как длительность полуцикла  $\tau_{\rm c}$  скорость воздуха  $U_{\rm max},$  длина канала L, толщина стенки D, теплопроводность материала стенки  $\lambda_{\rm s},$  теплоемкость материала стенки  $c_{\rm s},$  поочередно варьировались, при этом все остальные параметры для обоих значений радиуса канала были одинаковы. Расчеты показали, что периодический режим теплообмена между потоком воздуха и стенкой канала можно считать установившимся после 20-30 периодов, начиная с момента начала счета. Далее все результаты расчетов приводятся для установившегося режима.

На рис. 2 показана энергетическая эффективность  $E_{\rm ef}$  для обоих радиусов канала (при L=200 мм, D/R=0,3) в зависимости от длительности полуцикла при различных значениях максимальной средней скорости воздуха  $U_{\rm max}$ . Видно, что величина  $E_{\rm ef}$  монотонно убывает с ростом  $\tau$ , причем с увеличением средней скорости воздуха значение  $E_{\rm ef}$ 



*Рис. 2.* Энергетическая эффективность для каналов радиусом 1 (*a*) и 2 (*b*) мм в зависимости от  $\tau$  для значений  $U_{\rm max}$  = 1,5 (*I*), 1 (2), 0,5 (3) м/с.

уменьшается. Из рисунка также следует, что для канала радиусом 1 мм энергетическая эффективность существенно больше, чем для канала радиусом 2 мм (при одинаковых значениях  $U_{\rm max}$ ). Этот факт вполне объясним. Действительно, величина теплового потока от стенки к воздуху (или обратно) прямо пропорциональна периметру канала  $2\pi R$ , а обусловленный расходом газа конвективный поток тепла прямо пропорционален площади воздушного потока  $\pi R^2$ . Поэтому интенсивность теплообмена воздуха со стенкой прямо пропорциональна отношению периметра к площади, т.е. величине  $R^{-1}$ . Таким образом, в канале радиусом 1 мм теплообмен со стенкой более эффективен, чем в канале радиусом 2 мм, поэтому в первом случае значения  $E_{\rm ef}$  больше. Тот факт, что  $E_{\rm ef}$  убывает с ростом  $\tau$ , также вполне понятен. При достаточно большом значении  $\tau$  вытекающий наружу теплый воздух успевает прогреть стенку канала до температуры помещения, поэтому средняя температура (безразмерная) выбрасываемого в атмосферу воздуха будет близка к единице, а значение  $E_{\rm ef}$ , рассчитанное по уравнению (10), будет близко к нулю.

На рис. 3 показана  $E_{\rm ef}$  в зависимости от длины канала L при  $\tau$  = 15 с,  $U_{\rm max}$  = 0,5 м/с. Видно, что величина  $E_{\rm ef}$  монотонно растет с увеличением L, однако для радиуса 2 мм этот рост более существенный, чем для радиуса 1 мм. Влияние длины на  $E_{\rm ef}$  также объясняется наличием на концах канала участков термической стабилизации, где воздушный поток слабо участвует в теплообмене со стенкой. С увеличением L уменьшается относительный вклад этих участков, поэтому  $E_{\rm ef}$  растет. В случае канала радиусом 1 мм термический пограничный слой достигает оси канала раньше, поэтому длина участка термической стабилизации меньше, чем для канала с радиусом 2 мм. Вследствие этого для радиуса 1 мм  $E_{\rm ef}$  растет с увеличением L относительно слабее, чем для радиуса 2 мм. На рис. 4 показано влияние теплоемкости материала стенки на  $E_{\rm ef}$  при тех же значениях параметров, что и на рис. 3. Видно, что величина  $E_{\rm ef}$  практически не зависит от отношения  $c_s/c_e$  (в исследованном диапазоне  $E_{\rm ef}$  изменяется примерно на 0,5 %).

На рис. 5 и 6 показаны распределения безразмерной температуры по сечению канала радиусом 2 мм в фазе притока (рис. 5) и в фазе вытяжки (рис. 6) для различных моментов времени при  $\tau$  = 15 с,  $U_{\rm max}$  = 0,5 м/с, L = 200 мм, D/R = 0,3. Расчет сделан для сечения, расположенного вблизи холодного края (x/L = 0,1) канала радиусом 2 мм. Из рис. 5 видно, что температура воздуха существенно меняется с ростом радиальной координаты r, в то время как температура стенки гораздо более однородна (т.е. слабо зависит от r).

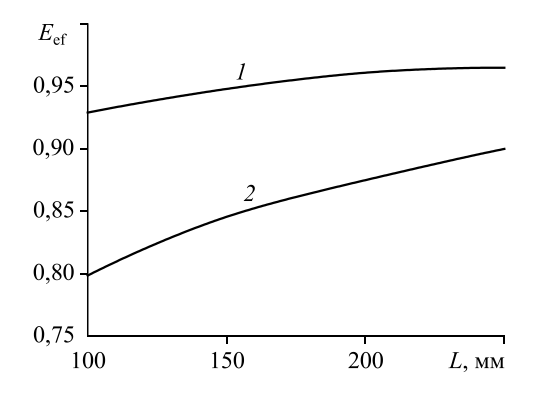


Рис. 3. Энергетическая эффективность для каналов радиусом 1 (I) и 2 (I) мм в зависимости от длины канала.

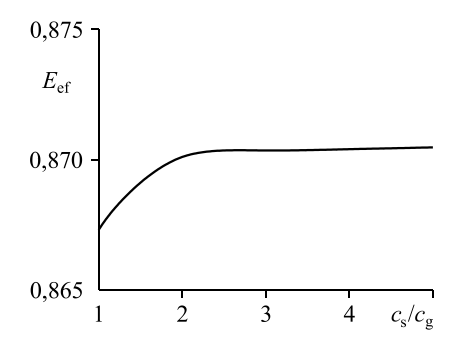
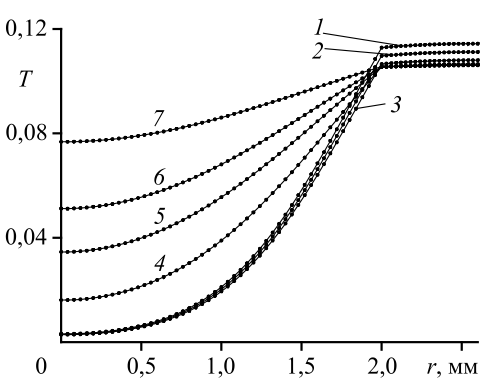


Рис. 4. Энергетическая эффективность для канала радиусом 2 мм в зависимости от теплоемкости материала стенки.



*Puc.* 5. Распределения безразмерной температуры по сечению канала в фазе притока в моменты времени  $t/\tau = 0.435$  (*I*), 0,638 (2), 0,840 (3), 0,941 (4), 0,961 (5), 0,970 (6), 0,991 (7).

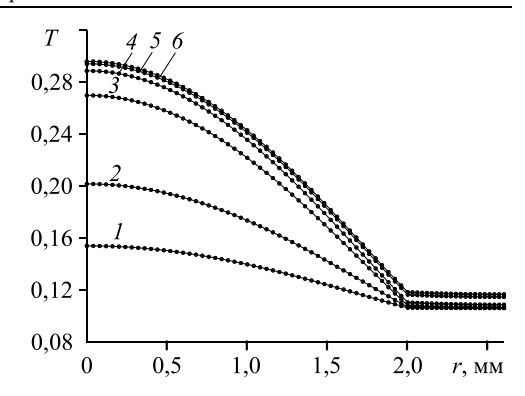


Рис. 6. Распределения безразмерной температуры по сечению канала в фазе вытяжки в моменты времени  $t/\tau$  = 0,033 (1), 0,069 (2), 0,122 (3), 0,253 (4), 0,610 (5), 0,727 (6).

Большую часть времени (до момента  $t/\tau=0,85$ ) средняя по сечению температура воздуха в сечении существенно меньше температуры стенки. При этом профиль температуры воздуха изменяется незначительно, хотя стенка за это время заметно остывает (кривые 1-3). Это объясняется тем, что полученное от стенки тепло сносится воздухом вниз по потоку. К окончанию фазы притока скорость воздуха существенно падает, поэтому средняя по сечению температура воздуха начинает быстро расти, приближаясь к средней температуре стенки (кривые 4-7). Рис. 6 демонстрирует изменение профилей температуры в фазе вытяжки. Видно, что в самой начальной стадии профиль температуры воздуха быстро растет (кривые 1-3), поскольку к холодному концу канала притекают все более теплые порции воздуха из его средней части. Затем до окончания фазы вытяжки устанавливается слабо меняющийся во времени профиль температуры воздуха (кривые 4-6). При этом температура стенки канала непрерывно увеличивается, получая тепло от потока воздуха.

На рис. 7 показано среднее по длине канала число Нуссельта <Nu> в зависимости от времени при тех же значениях параметров, что на рис. 5 и 6. Видно, что величина <Nu>

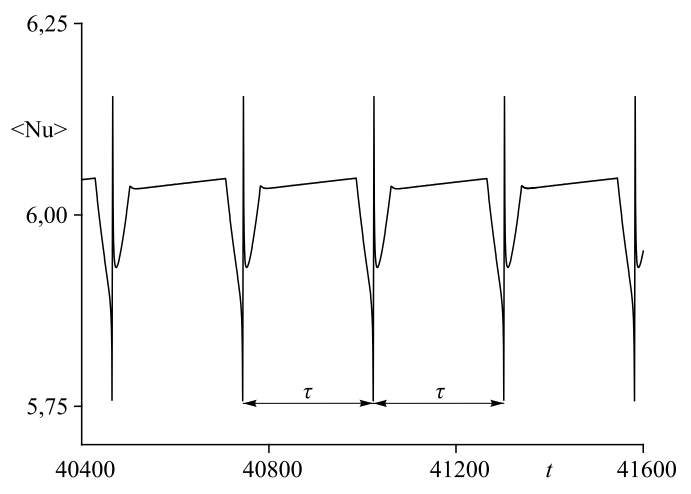
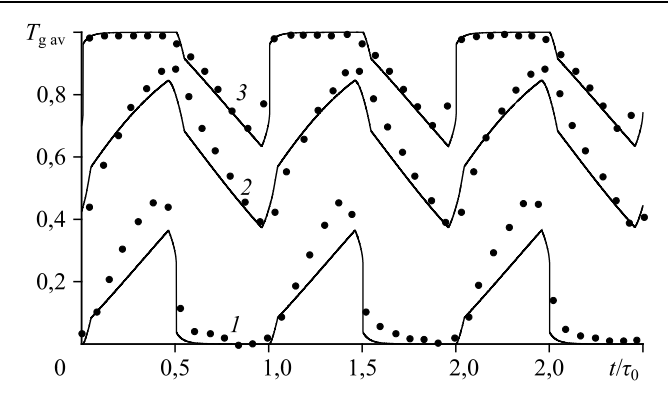


Рис. 7. Среднее по длине канала число Нуссельта в зависимости от времени. Показано два периода.



Puc. 8. Средняя по сечению температура воздуха в зависимости от времени в различных сечениях канала.

Расстояние от холодного конца канала (мм): 0 (*I*), 120 (*2*), 180 (*3*); кривые — результаты расчета, точки — данные эксперимента.

периодически пульсирует с периодом, равным длительности полуцикла  $\tau$  (заметных различий между фазами притока и вытяжки не наблюдается). Среднее по времени значение <Nu> примерно равно 6, амплитуда пульсаций относительно небольшая. В моменты смены направления воздушного потока наблюдаются короткие всплески, но в целом значение <Nu> меняется довольно плавно. Из рисунка следует, что соотношение Nu = const, использованное для замыкания одномерной модели [8], в целом неплохо описывает теплообмен между воздухом и теплообменной матрицей при периодическом изменении направления воздушного потока. Расчеты показали, что среднее по времени значение <Nu> слабо зависит от таких параметров, как радиус канала, длительность полуцикла  $\tau$ , длина канала L, и лежит в узком диапазоне 5,8-6,15. Таким образом, принятое в одномерной модели [8] предположение Nu = const будет вполне подходящим для инженерных расчетов, если принять эту константу равной 6.

На рис. 8 показаны рассчитанные зависимости средней температуры воздуха от времени в различных сечениях канала в сравнении с экспериментальными данными [8]. Видно, что во всех сечениях температура пульсирует с периодом работы реверсивного вентилятора  $\tau_0 = 2\tau$ . На концах канала (кривые I и J) в моменты смены направления воздушного потока температура меняется скачкообразно, а в средней части канала (кривая J) такие скачки отсутствуют. В фазе вытяжки температура на холодном конце канала (кривая J) монотонно растет и начинает падать, только когда скорость воздушного потока уменьшается. Соответственно, на теплом конце канала (кривая J) в фазе притока температура монотонно падает. Расчетные зависимости вполне удовлетворительно согласуются с экспериментальными данными [8].

# Выводы и рекомендации

Разработана двумерная математическая модель регенеративного теплообменника для системы вентиляции с циклическим изменением направления потока. В этой модели тепловой поток на границе воздух – стенка канала вычисляется непосредственно исходя из физических свойств газа и материала теплообменной матрицы, поэтому нет необходимости задавать коэффициент теплообмена из внешнего замыкающего соотношения, как в одномерной модели. Сформулировано определение энергетической эффективности

регенеративной системы вентиляции  $E_{
m ef}$  в терминах снижения потери тепловой энергии по сравнению с проточной системой вентиляции.

Методом численного моделирования проведены параметрические исследования с целью определения влияния рабочих и конструктивных параметров регенеративного теплообменника на его энергетическую эффективность. В численных расчетах выявлено две группы размерных параметров, от которых зависит величина  $E_{\rm ef}$ . К первой группе относятся параметры, которые оказывают значительное влияние на энергетическую эффективность устройства: радиус эквивалентного канала R, максимальная скорость воздуха  $U_{\max}$ , длительность полуцикла  $\tau$ , длина канала L. Вторая группа включает в себя параметры, которые слабо влияют на  $E_{
m ef}$ : теплопроводность и теплоемкость материала теплообменной матрицы, толщина стенки эквивалентного канала D. Так, например, если отношение  $\lambda_{\rm s}/\lambda_{\rm g}$  увеличить в 5 раз, то величина  $E_{\rm ef}$  возрастает примерно на 2,2 %. Такое незначительное влияние теплопроводности на  $E_{\rm ef}$  выглядит, на первый взгляд, парадоксальным. Однако это объясняется тем, что температуропроводность воздуха много больше, чем температуропроводность стенки, а теплопроводность воздуха, напротив, много меньше теплопроводности стенки. В этом случае интенсивность теплообмена между воздухом и стенкой определяется в основном теплопроводностью воздуха (эффект «бутылочного горлышка») и в гораздо меньшей степени зависит от теплопроводности материала стенки. Влияние толщины стенки также весьма незначительно. Расчеты показали, что даже относительно тонкая стенка (D/R = 0,1) вполне обеспечивает эффективное охлаждение воздушного потока в фазе вытяжки (если теплоемкость материала стенки не слишком мала).

Таким образом, при проектировании регенеративного теплообменника необходимо исходя из критерия энергетической эффективности оптимизировать параметры первой группы. Наиболее важными из них являются  $U_{\rm max}$  и R. Для того чтобы значение  $E_{\rm ef}$  было достаточно велико, максимальная средняя скорость воздуха должна быть достаточно малой (не более 0.3-0.4 м/с). Величину R следует выбрать, казалось бы, как можно меньше. Однако с уменьшением радиуса канала существенно растет гидравлическое сопротивление и, соответственно, перепад давления на концах канала. В результате резко возрастают энергетические затраты, необходимые для прокачки воздуха через теплообменную матрицу. По-видимому, величину R следует выбирать в диапазоне 1-1.5 мм. Величину  $\tau$  следует ограничить сверху значением 20-25 с. Длина канала L, напротив, должна быть достаточно большой, хотя это не очень удобно, если исходить из конструктивных соображений. Очевидно, величину L следует выбирать в диапазоне 200-250 мм.

# Список литературы

- 1. Roulet C.A., Heidt F.D., Foradini F., Pibiri M.C. Real heat recovery with air handling units // Energy Building. 2001. Vol. 33. P. 495–502.
- Dodoo A., Gustavsson L., Sathre R. Primary energy implications of ventilation heat recovery in residential buildings // Energy Building. 2011. Vol. 43. P. 1566–1572.
- 3. Kragh J., Rose J., Nielsen T.R., Svendsen S. New counter flow heat exchanger designed for ventilation systems in cold climates // Energy Building. 2007. Vol. 39. P. 1151–1158.
- **4. Chen D.** Periodically reversible supply/exhaust ventilation strategy // Building and Environment. 2017. Vol. 124. P. 2590–2597.
- Chang C.C., De Liang J., Chen S.L. Performance investigation of regenerative total heat exchanger with periodic flow // Applied Thermal Engng. 2018. Vol. 130. P. 1319–1327.
- Aristov Y.I., Mezentsev I.V., Mukhin V.A. A new approach to regenerating heat and moisture in ventilation systems // Energy Building. 2008. Vol. 40, Iss. 3. P. 204–208.

- 7. Мезенцев И.В., Верниковская Н.В., Аристов Ю.И., Мухин В.А. Экспериментальное исследование и математическое моделирование процессов теплообмена в теплоаккумулирующих средах // Теплофизика и аэромеханика. 2006. Т. 13, № 3. С. 435–442.
- 8. Низовцев М.И., Бородулин В.Ю., Летушко В.Н. Регенеративный теплообменник для вентиляции помещений с периодическим изменением направления воздушного потока // Теплофизика и аэромеханика. 2015. Т. 22, № 6. С. 785–796.
- Nizovtsev M.I., Borodulin V.Y., Letushko V.N., Zakharov A.A. Analysis of the efficiency of air-to-air heat exchanger with a periodic change in the flow direction // Applied Thermal Engng. 2016. Vol. 93. P. 113–121.
- 10. Aktershev S.P., Mezentsev I.V., Mezentseva N.N. Numerical simulation of the energy-saving device for ventilation with periodic veering of an air flow // J. of Physics: Conf. Series. 2020. Vol. 1677, Iss. 1. P. 012101-1-012101-6.

Статья поступила в редакцию 16 мая 2022 г., после доработки — 21 ноября 2022 г., принята к публикации 8 декабря 2022 г., после дополнительной доработки — 2 февраля 2023 г.